

# 多模型自适应预报及其在电力规划 负荷预报中的应用

韩曾晋 牛志强

(清华大学)

## 摘 要

本文提出一种多模型自适应预报方法, 预报系统由几个并行的多步预报器组成, 最终预报由 Bayes 决策律决定. 本法适用于随机快时变参数动态过程的预报, 在我国工业用电量长期预报中应用此法获得了良好的效果.

## 引 言

自校正预报器适用于参数未知的定常系统和慢时变系统<sup>[1]</sup>. 但对参数快时变而在大范围内随机变化, 采用自校正预报达不到预期效果. 本文提出的多模型自适应预报方法可以解决这类系统的预报问题. 全文共分三部分, 第一部分介绍预报系统基本单一自校正预报器, 第二部分讨论多模型自适应预报系统的结构和算法, 第三部分介绍个应用的实例.

## 一、自校正预报器

本节采用 Box 和 Jenkins 多步预报器, 假定被预报的过程可用下式描述:

$$A(q^{-1})y(t) = B(q^{-1})u(t) + C(q^{-1})e(t), \quad (1)$$

其中

$$A(q^{-1}) = 1 + a_1 q^{-1} + \dots + a_{n_a} q^{-n_a}$$

$$B(q^{-1}) = b_0 + b_1 q^{-1} + \dots + b_{n_b} q^{-n_b}$$

$$C(q^{-1}) = 1 + c_1 q^{-1} + \dots + c_{n_c} q^{-n_c}$$

$y(t)$ 为系统的输出序列,  $u(t)$ 为确定性控制输入序列,  $e(t)$ 为同分布方差为 $\sigma_e^2$ 的独立机扰动序列, 令 $\hat{y}(t+k|t)$ 为基于 $\{y(t), y(t-1) \dots y(1), u(t), u(t-1) \dots u(1), u(t+1)$

$u(t+k)$  的  $k$  步线性最小方差预报, 即  $\hat{y}(t+k|t)$  可使以下指标函数  $J$  为最小:

$$J = E\{y(t+k) - \hat{y}(t+k|t)\}^2. \quad (2)$$

假定  $u(t) \equiv 0$  (无确定性输入), 则 (1) 式简化成

$$A(q^{-1})y(t) = C(q^{-1})e(t). \quad (3)$$

众所周知, 线性最小方差预报  $\hat{y}(t+k|t) = E\{y(t+k)|Y^t\}$ , 其中  $Y^t = \{y(t), y(t-1), \dots, y(1)\}$ ,  $E\{\cdot\}$  表示取期望, 考虑到以下基本关系<sup>[2]</sup>

i)  $E\{y(t+k)|Y^t\} = \hat{y}(t+k|t), k > 0$

ii)  $E\{y(t-k)|Y^t\} = y(t-k), k \geq 0$

iii)  $E\{e(t+k)|Y^t\} = 0, k > 0$

iv)  $E\{e(t-k)|Y^t\} = e(t-k) \cong \varepsilon(t-k), k > 0, \varepsilon(t-k)$  为预报误差, 利用上述关系

可导出  $\hat{y}(t+k|t)$  表达式

$$\left. \begin{aligned} \hat{y}(t+k|t) &= - \sum_{i=1}^{n_a} a_i \hat{y}(t+k-i|t) + \sum_{i=k}^{n_c} c_i \varepsilon(t+k-i), 1 \leq k \leq n_c, \\ \hat{y}(t+k|t) &= - \sum_{i=1}^{n_a} a_i \hat{y}(t+k-i|t), k > n_c = n_a, \end{aligned} \right\} \quad (4)$$

其中  $\varepsilon(t) = y(t) - \hat{y}(t|t-1)$ . 根据  $Y^t$  和 (4) 式可递推计算  $\hat{y}(t+1|t), \hat{y}(t+2|t), \dots, \hat{y}(t+k|t)$ .

令确定性输入  $u(t)$  产生的输出为  $y_u(t)$ , 则有

$$y_u(t+k) = - \sum_{i=1}^{n_a} a_i y_u(t+k-i) + \sum_{i=0}^{n_b} b_i u(t+k-i). \quad (5)$$

随机扰动  $e(t)$  产生的输出  $y_e(t+k)$  可以用其最优估计  $\hat{y}_e(t+k|t)$  代替. 根据迭加原理,  $\hat{y}(t+k|t) = y_u(t+k) + \hat{y}_e(t+k|t)$ , 其中  $\hat{y}_e(t+k|t)$  可用 (4) 式计算. 所以考虑  $u(t) \neq 0$ , 最小方差预报的递推公式最后可归结为

$$\left. \begin{aligned} \hat{y}(t+k|t) &= - \sum_{i=1}^{n_a} a_i \hat{y}(t+k-i|t) + \sum_{i=0}^{n_b} b_i u(t+k-i) \\ &\quad + \sum_{i=k}^{n_c} c_i \varepsilon(t+k-i), 1 \leq k \leq n_c, \end{aligned} \right\} \quad (6)$$

$$\hat{y}(t+k|t) = - \sum_{i=1}^{n_a} a_i \hat{y}(t+k-i|t) + \sum_{i=0}^{n_b} b_i u(t+k-i), \quad k > n_c,$$

$$\varepsilon(t) = y(t) - \hat{y}(t|t-1).$$

自校正预报:

当系统参数未知或慢时变时, 采用 ERLS 法在线辨识方程(6)中的未知参数  $\hat{\theta}(t)$  然后用(6)式进行递推预报. 参数估计算法如下:

$$\theta = [a_1 \cdots a_{n_a}, b_0, b_1 \cdots b_{n_b}, c_1 \cdots c_{n_c}]^T,$$

$$\varphi(t) = [-y(t-1) \cdots -y(t-n_a), u(t), u(t-1) \cdots u(t-n_b), \varepsilon(t-1) \cdots \varepsilon(t-n_c)]^T,$$

$$\hat{\theta}(t) = \hat{\theta}(t-1) + K(t)\varepsilon_1(t),$$

$$K(t) = P(t-1)\varphi(t)[\lambda + \varphi^T(t)P(t-1)\varphi(t)]^{-1},$$

$$P(t) = \frac{1}{\lambda} [P(t-1) - K(t)\varphi^T(t)P(t-1)], \quad P(0) = dI, \quad d \gg 0, \quad I: \text{单位阵},$$

$$\varepsilon_1(t) = y(t) - \hat{\theta}^T(t-1)\varphi(t),$$

$$\varepsilon(t) = y(t) - \hat{\theta}^T(t)\varphi(t).$$

$\lambda$  为遗忘因子取 0.999~0.950. 将参数  $\hat{\theta}(t)$  和  $\varepsilon(t)$ ,  $\varepsilon(t-1) \cdots$  代入(6)式可  $\hat{y}(t+i|t)$ ,  $i=1, 2, \dots, k$ .

## 二、多模型自适应预报

当系统参数是随机快时变如图 1 所示时, 由于参数递推估计跟不上参数变化而校正预报误差加大. 如果将参数取值范围分成  $N$  区, 每区用一个自校正预报器, 并预报, 再用 Bayes 决策律确定最终预报, 构成图 2 所示的多模型自适应预报系统, 预报误差可以降低.

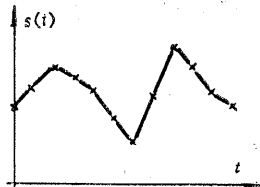


图 1 随机时变参数

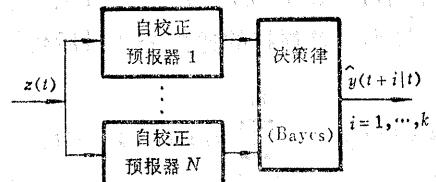


图 2 多模型自适应预报系统

假定时变参数  $s(t)$  可用有限状态马尔可夫链来描述. 马氏链的每一状态与一个正预报器的工作区相对应, 则  $s(t) \in S = \{1, 2, \dots, N\}$ ,  $t=0, 1, 2, \dots$ . 令  $t|$

状态转移概率为  $p_{ml}(t) = P_r\{s(t) = l | s(t-1) = m\}$ ,  $m, l \in S$ , 状态转移概率阵为

$$[p_{ml}(t)] = \begin{bmatrix} p_{11}(t) \cdots p_{1N}(t) \\ \vdots \\ p_{N1}(t) \cdots p_{NN}(t) \end{bmatrix}, \text{ 利用 } s(t) \text{ 的历史数据可近似决定 } [p_{ml}(t)].$$

令  $z(t) = \{y(t), y(t-1) \cdots y(1), u(t), u(t-1) \cdots u(1), u(t+1) \cdots u(t+k)\}$  给定为条件的条件概率  $P_r\{s(t) = l | z(t)\}$ ,  $l = 1, \dots, N$  皆已知, 则条件概率  $P_r\{s(t+1) = l | z(t)\}$ ,  $P_r\{s(t+2) = l | z(t)\} \cdots$ ,  $l = 1, \dots, N$  皆可递推计算. 下面说明如何计算基于  $z(t)$  的 1 步到  $k$  步预报及基于  $z(t+1) = [z(t), y(t+1)]$  的 1 步到  $k$  步预报.

基于  $z(t)$  求输出的 1 步到  $k$  步预报的计算步骤:

(1) 根据第一节所述的方法求各自校正预报器的预报:  $\hat{y}_l(t+i|t)$ ,  $l = 1, \dots, N$ ,  $i = 1, \dots, k$ .

$$(2) \text{ 计算一步最终预报 } \hat{y}(t+1|t) = \sum_{l=1}^N P_r\{s(t+1) = l | z(t)\} \hat{y}_l(t+1|t),$$

$$\begin{aligned} \text{其中 } P_r\{s(t+1) = l | z(t)\} &= \sum_{m=1}^N P_r\{s(t+1) = l | s(t) = m, z(t)\} P_r\{s(t) = m | z(t)\} \\ &= \sum_{m=1}^N p_{ml}(t+1|t) P_r\{s(t) = m | z(t)\}, l = 1, 2, \dots, N. \end{aligned}$$

设  $P_r\{s(t) = m | z(t)\}$ ,  $m = 1, \dots, N$  为已知,  $[p_{ml}(t+1|t)]$  为已知常阵, 则  $P_r\{s(t+1) = l | z(t)\}$ ,  $l = 1, \dots, N$ , 和  $\hat{y}(t+1|t)$  可以算出.

(3) 计算  $k$  步最终预报  $\hat{y}(t+k|t)$ .

$$\hat{y}(t+k|t) = \sum_{l=1}^N P_r\{s(t+k) = l | z(t)\} \hat{y}_l(t+k|t),$$

$$\text{其中 } P_r\{s(t+k) = l | z(t)\} = \sum_{m=1}^N p_{ml}(t+k|t) P_r\{s(t+k-1) = m | z(t)\}, l = 1, \dots, N.$$

由于  $P_r\{s(t+k-1) = m | z(t)\}$  已递推算出, 所以  $P_r\{s(t+k) = l | z(t)\}$ ,  $l = 1, \dots, N$  及  $\hat{y}(t+k|t)$  皆可算出.

基于  $z(t+1)$  求输出的 1 步到  $k$  步预报的计算步骤:

(1) 在取得新数据  $y(t+1)$  后, 将各自校正预报器参数更新一次, 再用以下 Bayes 公式计算状态的验后概率  $P_r\{s(t+1) = l | z(t+1)\}$ ,  $l = 1, \dots, N$ .

$$P_r\{s(t+1)=l|z(t+1)\} = \frac{P_r\{y(t+1)|s(t+1)=l, z(t)\}P_r\{s(t+1)=l|z(t)\}}{\sum_{l=1}^N P_r\{y(t+1)|s(t+1)=l, z(t)\}P_r\{s(t+1)=l|z(t)\}}$$

假定 $e(t)$ 的分布是正态的 $N(0, \sigma_e^2)$ , 由于各预报器是线性的, 所以 $y(t+1)$ 的分布为正态 $N(\hat{y}_l(t+1|t), \sigma_l^2)$ , 当 $A(q^{-1}), C(q^{-1})$ 的参数不受时变参数 $s(t)$ 影响的情况下, 有 $\sigma_1^2 = \sigma_2^2 = \dots = \sigma_N^2 = \sigma^2$ , 则(7)式可简化成

$$P_r\{s(t+1)=l|z(t+1)\} = \frac{e^{-\gamma_l(t+1)}P_r\{s(t+1)=l|z(t)\}}{\sum_{l=1}^N e^{-\gamma_l(t+1)}P_r\{s(t+1)=l|z(t)\}}, \quad l=1, \dots, N$$

其中  $\gamma_l = \frac{1}{2\sigma^2} [y(t+1) - \hat{y}_l(t+1|t)]^2$ . 如果把 $P_r\{s(t+1)=l|z(t+1)\}, l=1, \dots, N$ 看作初始状态的条件概率, 那么就可以用与前相同的步骤计算1步到 $k$ 步的最终了.

(2) 根据各预报器更新后的参数, 计算 $\hat{y}_l(t+i+1|t+1), l=1, \dots, N, i=1, \dots, k-1$ .

(3) 计算一步最终预报 $\hat{y}(t+2|t+1)$ :

$$\hat{y}(t+2|t+1) = \sum_{l=1}^N P_r\{s(t+2)=l|z(t+1)\} \hat{y}_l(t+2|t+1),$$

其中  $P_r\{s(t+2)=l|z(t+1)\} = \sum_{m=1}^N p_{ml}(t+2|t+1)P_r\{s(t+1)=m|z(t+1)\}$ .

(4) 计算 $k$ 步最终预报 $\hat{y}(t+k+1|t+1)$ :

$$\hat{y}(t+k+1|t+1) = \sum_{l=1}^N P_r\{s(t+k+1)=l|z(t+1)\} \hat{y}_l(t+k+1|t+1),$$

其中  $P_r\{s(t+k+1)=l|z(t+1)\} = \sum_{m=1}^N p_{ml}(t+k+1|t+1)P_r\{s(t+k)=m|z(t+1)\}$ .

在预报期内假定状态转移概率阵为常阵, 预报过程是以滚动的方式向前进行的, 即一次新数据就将全部 $N$ 个预报器参数更新一次, 同时再计算一次验后条件概率;

进行1步到k步预报。

### 三、应用

本节介绍多模型自适应预报在电力规划中的应用。某行业的年用电量通常依赖于该行业的年产值，如果以年产值为系统的输入 $u(t)$ ，年用电量为输出 $y(t)$ ，利用输入输出的历史数据可建立以下动态模型：

$$A(q^{-1})y(t) = B(q^{-1})u(t) + C(q^{-1})e(t).$$

对不同行业的电量预报，参数 $D(t) = \frac{y(t)}{u(t)}$ 是表示负荷特性的一个重要参量，称为单耗。对已发展定型的行业单耗各年基本不变或只在小范围波动，对某些新兴行业，单耗将受许多随机因素的影响而呈图1所示的曲线变化，这时应用多模型自校正预报就比用一般自校正预报效果好。下面就以全国工业用电量预报为例说明计算方法。首先，根据23年的历史数据计算每年的单耗，画出 $D(t)$ 曲线，将 $D(t)$ 划分成三个区，对应于单耗 $D$ 正常、偏高、偏低三种情况。与三个区相对应的马氏链具有以下三个状态：

$$s(t) = \begin{cases} 1, & D(t) < 0.387, \\ 2, & 0.387 \leq D(t) \leq 0.407, \\ 3, & D(t) > 0.407. \end{cases}$$

对应于三个状态通过辨识可得以下三个模型：

$$s(t) = 1: y(t) + a_1 y(t-1) + a_2 y(t-2) = b^{(1)}_0 u(t) + b_1 u(t-1) + b_2 u(t-2) + e(t).$$

$$s(t) = 2: y(t) + a_1 y(t-1) + a_2 y(t-2) = b^{(2)}_0 u(t) + b_1 u(t-1) + b_2 u(t-2) + e(t).$$

$$s(t) = 3: y(t) + a_1 y(t-1) + a_2 y(t-2) = b^{(3)}_0 u(t) + b_1 u(t-1) + b_2 u(t-2) + e(t).$$

由于参数 $D(t)$ 只影响 $b_0$ ，所以三个模型的差别仅表现为 $b_0$ 不同，首先辨识 $s(t) = 2$ 模型( $D$ 正常)，得

$$a_1 = -0.412, a_2 = 0.341, b^{(2)}_0 = 0.405, b_1 = -0.151, b_2 = 0.111, \sigma_e^2 = 105.6,$$

利用1、3两区单耗的平均值 $D^{(1)}$ 、 $D^{(3)}$ 和以下关系决定 $b^{(1)}_0$ 、 $b^{(3)}_0$ ：

$$D^{(1)} = \frac{y(\infty)}{u(\infty)} = \frac{b^{(1)}_0 + b_1 + b_2}{1 + a_1 + a_2}, \quad D^{(3)} = \frac{b^{(3)}_0 + b_1 + b_2}{1 + a_1 + a_2}.$$

将已知的 $D^{(1)}$ 、 $D^{(3)}$ 、 $a_1$ 、 $a_2$ 、 $b_1$ 、 $b_2$ 代入上式求得： $b^{(1)}_0 = 0.393$ 、 $b^{(3)}_0 = 0.422$ 。根据历史数据在 $D(t)$ 三个区的分布可近似求得

$$[\phi_{nl}] = \begin{bmatrix} 0.33 & 0.67 & 0.00 \\ 0.13 & 0.74 & 0.13 \\ 0.00 & 0.50 & 0.50 \end{bmatrix}, \quad \text{再假定} \begin{bmatrix} Pr\{s(t)=1|z(t)\} \\ Pr\{s(t)=2|z(t)\} \\ Pr\{s(t)=3|z(t)\} \end{bmatrix} = \begin{bmatrix} 1 \\ 0 \\ 0 \end{bmatrix}.$$

利用表1数据(1982年前数据)拟合上述模型,假定1982年后产值的增长规律:19到1983年为5%,1983年以后为4%,利用本法预报五年的用电量,结果如下:

年 度:	1983	1984	1985	1986	1987
电 量:	2269	2426	2525	2605	2699

最后将回归分析、自校正预报、多模型自适应预报三种方法对不同行业的用电量进行预报,预报误差列于表2,以兹比较.表中的误差定义为

$$\Delta = \frac{1}{K} \sum_{k=1}^K \left| \frac{y(t+k) - \hat{y}(t+k|t)}{y(t+k)} \times 100\% \right|, K \text{ 为预报步数 (此处 } K=5 \text{)}$$

表1 输入输出数据

电 量 (输出)	产 值 (输入)
457.51, 352.63, 319.99, 338.84, 394.38	1411.13, 871.54, 727.03, 788.58, 941.13
477.23, 589.29, 497.05, 472.02, 633.81	1192.23, 1441.91, 1242.62, 1180.18, 1581.13
828.22, 951.70, 1017.84, 1101.94, 1078.60	2070.54, 2379.28, 2536.63, 2777.65, 2781.13
1247.82, 1289.66, 1426.91, 1660.87, 1846.36	3205.90, 3248.72, 3708.84, 4213.78, 4571.13
1961.33, 1975.00, 2093.33	4971.68, 5177.67, 5577.50

表2 三种方法平均相对误差比较

算 法 误差 % 行 业	多 模 型	自 校 正	回 归 分 析	单 耗 特 性
全国工业	1.54	2.55	2.65	较平稳
造 纸	3.59	5.44	4.90	缓慢上升
黑色冶金	1.91	6.08	9.09	波动大
有色冶金	3.83	4.68	3.85	前段波动较大,后平稳
石 油	8.42	8.00	20.00	波动大,后几年上升
煤 炭	10.86	12.30	15.60	上升且波动大
化 工	3.95	4.04	4.05	波动不大
机 械	1.44	8.43	2.02	一直下降
建 材	2.54	4.53	9.41	前段平稳,后段波动
纺 织	2.29	2.26	3.43	比较平稳

## 结 论

对随机快时变动态系统, 如某些小样本的经济系统, 采用本文提出的方法预报, 可以获得比常规自校正和回归分析更好的结果。

## 参 考 文 献

- [1] Keyser. R. M. C DE etal, A Self-tuning Multistep Predictor Application, Automatica, 17, 1, (1981), 167-174.
- [2] Box G. E. P. and Jenkins G. M., Time Series Analysis Forecasting and Control, Holden-Day San Francisco, (1970).
- [3] Lainiotis, D. G., Partitioniong, A Unifying Framework for Adaptive Systems, I. Estimation, II. Control, Proceeding of the IEEE, 64, 8, (1976), 1126-1143.

## MULTIMODEL ADAPTIVE FORECASTING METHOD AND ITS APPLICATION TO LOAD FORECASTING IN POWER SYSTEM PLANNING

Han Zengjin, Nu Zhichung

(Qinghua University, Beijing)

### Abstract

In this paper a multimodel-based method of adaptive forecasting is presented. The whole adaptive system consists of several multistep self-tuning predictors working in parallel. The final forecast is determined by using Bayes decision rule. This method is especially suitable for the forecasteng of dynamic process with stochastic time-varying parameters. Application to the load forecasting for Electric power systems shows the advantage of the method.